

مدیریت موجودی در یک سیستم زنجیره‌ی تأمین حلقه‌بسته سه‌سطحی با بازگشتی‌ها و تقاضای همبسته

راشد صحوانیان*

(استادیار)

گروه مهندسی صنایع، دانشگاه شاهد

الله مالکی (دانشجوی کارشناسی ارشد)

شادی عقیمی‌بور (دانشجوی کارشناسی ارشد)

دانشکده‌ی هندسی صنایع و سیستم‌های مدیریت، دانشگاه صنعتی امیرکبیر

این نوشتار به بررسی مسئله‌ی مدیریت موجودی در یک زنجیره‌ی تأمین حلقه‌بسته، و نیز بسط و توسعه‌ی مدل‌های قطعی و تصادفی برای یک سیستم سه‌سطحی زنجیره‌ی تأمین با تقاضا و بازگشتی همیشه اختصاص دارد. بدین‌منظور، هزینه‌ها از دیدگاه سیستم موجودی در نظر گرفته شده، و سیستم بازنگری موجودی در هر دو صورت مرور دائم و مرور دوره‌یین تحت حالت‌های فروش از دست رفته و تخصیص مورد بررسی قرار می‌گیرد. سپس با استفاده از جعبه‌ای از الگوریتم ژنتیک در نرم‌افزار مطلب به حل مدل پرداخته و اثر تغییر پارامترها تجزیه و تحلیل می‌شود. حل مثال‌های عددی نشان می‌دهد که همیشه نرخ بالای پارامترها تجزیه و تحلیل می‌شود. حل مثال‌های عددی نشان می‌دهد که همیشه نرخ بالای پارگشتی منجر به کاهش هزینه سیستم نمی‌شود و کاهش یا افزایش آن همیشه به سایر پارامترها دارد. همچنین در این نوشتار هزینه‌های سیستم بازنگری موجودی مرور دوره‌یی و دائم نیز مقایسه می‌شوند. در هر حال مدیران هنگام انتخاب سیستم مدیریت موجودی خود باید به تحلیل تمامی پارامترها بپردازند.

واژگان کلیدی: زنجیره‌ی تأمین حلقه‌بسته، موجودی، محصولات بازگشتی، الگوریتم ژنتیک، همیشه، چندسطحی.

۱. مقدمه

در سال‌های اخیر به دلیل قوانین دولتی، مسائل محیطی، مسئولیت اجتماعی و فشارهای مشتری، لجستیک معکوس و زنجیره‌ی تأمین پایه‌یی، عملیات تولید مورد توجه بسیاری از محققین قرار گرفته است.^[۱-۴] مهم‌ترین و اساسی‌ترین نظریه در تمام تحقیقات انجام شده در این زمینه این است که «یک پارچه‌سازی و تلفیق بازیافت محصول با زنجیره‌ی تأمین پیش رو سنتی، منجر به ایجاد زنجیره‌یی جدید می‌شود که مجموعه‌یی از بازگشتی‌ها و طراحی شبکه‌ی لجستیک معکوس برای بازیافت محصول، زمان‌بندی تولید و مدیریت موجودی‌های را در بر خواهد گرفت». مدیریت بازیافتی‌های محصول در کشورهای توسعه‌یافته، از قبیل آمریکای شمالی و اروپا، اجباری شده است تا این طریق از آلودگی‌ها و ضایعات جلوگیری به عمل آید. بنابراین تولیدکنندگان ملزم به تولید محصولاتی با اجرای قابل بازیافت، و در عین حال دست‌یابی به ارزش اقتصادی لازم از ناحیه‌ی بازیافتی‌های محصول خواهند بود.

عملیات بازیافت مناسب، قطعاً به کیفیت بازیافتی‌ها بستگی دارد. عملیات

نویسنده مسئول

تاریخ: دریافت ۲۲ اکتبر ۱۳۹۱، پذیرش ۱۱ اکتبر ۱۳۹۲.

تامین‌کنندۀ بیرونی تهیه می‌شود — تعویض کرد. همچنین فرض شده است که از شرکت بازسازی شده و نمونه‌های جدید یکسان است و درنتیجه، هزینه‌های نگهداری و موجودی یکسان دارند. از سوی دیگر، اقلام برگشتی بازسازی نشده کم‌ارزش‌تر از اقلام موجود در انبار خدمات فرض شده‌اند و بنابراین هزینه‌ی نگهداری کم‌تری دارند.

زمان بازسازی یک دسته از برگشتی‌ها در مقایسه با زمان تهیه محصولات جدید از تامین‌کنندۀ بیرونی در یک مرحله‌ی متناظر، ناچیز فرض می‌شود. سفارش تولید مجدد در همان لحظه‌ی پرسازی مجدد (از طریق تامین‌کنندۀ بیرونی) رخ می‌دهد.

پرسازی مجدد و هزمان بازسازی شده‌ها و محصولات جدید، فرضی در مسئله‌ی است

که منجر به طول دوره‌ی یکسان در مراحل متناظر می‌شود.

در اینجا هزینه‌ی آماده‌سازی و نگهداری موجودی در تمامی مراحل و هزینه‌های کمبود در مراحلی که شامل انبار خدمات رسانی هستند در نظر گرفته می‌شود و هر دو نوع مدل تصادفی و قطعی برای سیستم توسعه داده می‌شود. لازم به ذکر است که در زنجیره‌ی تامین حلقه‌بسته، انواع دیگری از هزینه‌ها (مانند دسته‌بندی، حمل و نقل، بازرگانی، بازیافت) وجود دارد ولی در اینجا ساختار هزینه از دیدگاه مدیریت موجودی تجزیه و تحلیل می‌شود و محدود به هزینه‌های کمبود، نگهداری موجودی و آماده‌سازی است. هدف این است که مقادیر متغیرهای سیاست موجودی (مقادیر سفارش در مدل قطعی، سطح سفارش مجدد و دوره‌ی مرور موجودی در مدل سفارش تصادفی) به‌گونه‌ی تعبین شود که در تمام مراحل، هزینه‌های کل مورد انتظار سیستم کمیه شود.

در مدل تصادفی فرض می‌شود که تقاضا و بازگشتی‌ها دارای توزیع نرمال، و در دوره‌های متفاوت مستقل از هم، ولی در یک دوره هم‌بسته‌اند. تقاضا در اینجا به دو صورت اتفاق می‌افتد: تقاضاهای ناشی از محصولات جدید و تقاضاهای ناشی از محصولات بازگشتی. به تقاضاهای ناشی از محصولات بازگشتی، در همان دوره پاسخ داده نمی‌شود بلکه به صورت تقاضای عقب‌افتاده و در دوره‌ی بعدی، زمانی که بازگشتی‌ها بازسازی شدند، تامین می‌شود. اما به تقاضای جدید در همان دوره پاسخ‌دهی می‌شود و چنانچه موجودی وجود نداشته باشد در دوره‌ی بعدی به‌محض پرسازی مجدد انبار، تامین می‌شوند. توضیحات بیشتر در مورد مدل در بخش بعدی (مدل‌سازی) ارائه شده است.

۳. مدل‌سازی

در این بخش، ابتدا یک مدل تحلیلی برای یک سیستم موجودی سه‌سطحی قطعی که شامل ۴ مرحله است، ارائه می‌شود. مراحل ۱، ۲، ۳ به ترتیب متعلق به سطح ۱، ۲ و ۳ هستند، و موجودی انبار خدمات رسانی محصولات جدید را در بر می‌گیرند. مرحله‌ی ۴ در سطح ۱ است که بازگشتی‌ها در آن بازسازی می‌شوند. ابتدا کل هزینه‌ی سیستم (TC) محاسبه می‌شود.

در ادامه، سیستم موجودی سه‌سطحی با تقاضا و بازگشتی‌های تصادفی بررسی می‌شود. در این مدل‌سازی هم سیاست مرور دائم و هم سیاست مرور دوره‌ی موجودی مطالعه می‌شود. تقاضا و بازگشتی‌ها توزیع نرمال دارند. دو موقیت نیز در هر مدل بررسی می‌شود: حالتی که کمبود در سطح بالاتر به صورت فروش از دست رفته است، یا به سطح پایین تر تخصیص می‌یابد.

۱.۳. مدل قطعی

با استفاده از این مدل نزخ‌های تقاضا و بازگشتی یکنواخت در طول زمان، ایستا و

افزون بر این، همیستگی بین تقاضا و بازگشتی ابعاد دیگری از پیچیدگی را به این سیستم‌ها افزوده است.^[۱۰] این همیستگی ممکن است یک همیستگی کاملاً مثبت برای محصولات تغییرپذیر، یا یک همیستگی با درجه آزادی برای محصولات با سیکل کوتاه (مانند کانتینرها و دوربین‌های یک‌بار مصرف)، یا تقریباً بدون همیستگی برای محصولات با طول عمر طولانی (مانند تجهیزات الکتریکی) باشد.

سیستم‌های موجودی چندسطوحی، یکی از زمینه‌های مهم و مطرح در مدل‌سازی مدیریت زنجیره‌ی تامین در سطح عملیاتی است که تحقیقات بسیار زیادی درمورد آن در حال انجام است. در هر زنجیره‌ی تامین سطوح موجودی با یک‌دیگر رابطه دارند، بنابراین مطالعه‌ی ارتباط متقابل آن‌ها حائز اهمیت است.

اخيراً یک مدل کنترل موجودی برای زنجیره‌ی تامین حلقه‌بسته با یک تامین‌کننده، یک خرده‌فروش و یک مرکز جمع‌آوری با تقاضا و نزخ بازگشت قطعی و بدون کمبود توسعه یافته است.^[۱۱] ولی در کل، تحقیقات محدودی درمورد زنجیره‌ی تامین حلقه‌بسته چندسطوحی، که بازسازی تصادفی محصولات بازگشتی را نیز شامل شود، در دسترس است.^[۱۲-۱۳]

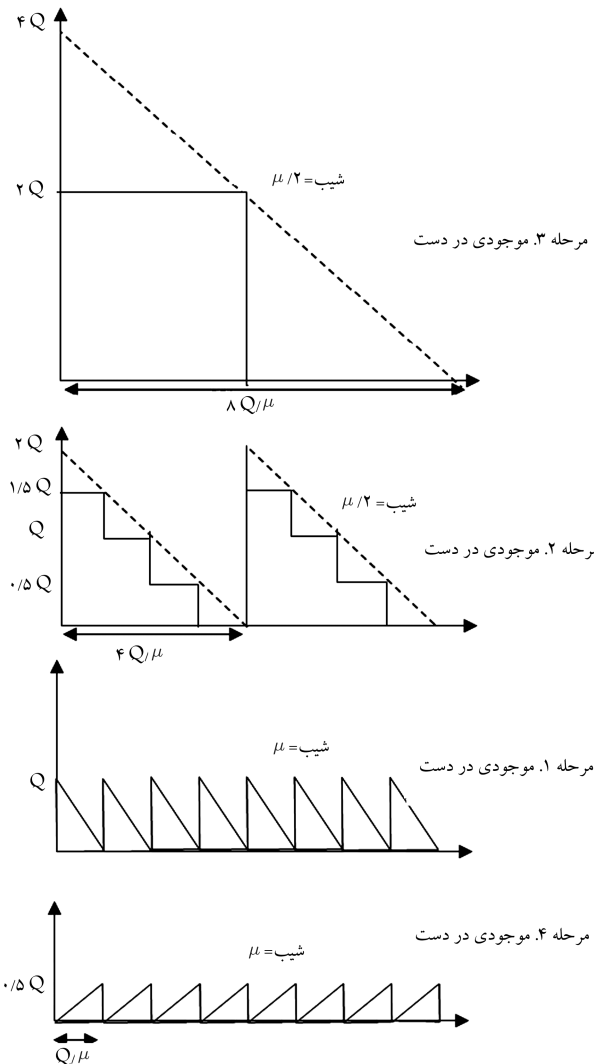
این تحقیقات با درنظرگرفتن مفروضاتی از قبیل استقلال بین تقاضا و محصولات بازگشتی، یا درنظرگرفتن تعدادی از هزینه‌ها، مدل خود را محدود کرده‌اند. در پاره‌ی از این تحقیقات هزینه‌های یک سیستم کنترل موجودی شامل هزینه‌های آماده‌سازی، نگهداری و کمبود در نظر گرفته شده.^[۱۴] ولی با این فرض که تقاضا و بازگشتی مستقل از یکدیگرند. در تحقیقی دیگر، یک سیستم دوستوحی با یک توسعه‌یکننده و دو خرده‌فروش با سیستم کنترل موجودی مرور دائم ولی بدون بازگشتی بررسی شده است.^[۱۵]

در بررسی مدیریت موجودی در یک زنجیره‌ی تامین دوستوحی با تقاضا و بازگشتی وابسته،^[۱۶] این مدل در دو حالت تصادفی و قطعی توسعه یافته است که در آن توزیع تقاضا و بازگشتی‌ها نرمال فرض شده و سیستم تحت سیاست مرور دوره‌یی موجودی مورد بررسی قرار گرفته است. اگرچه مطالعه درمورد زنجیره‌های تامین دوستوحی حجم بیشتری را به خود اختصاص داده‌اند، اما تحقیقاتی نیز درمورد زنجیره‌های تامین سه‌سطحی انجام شده است. هدف این تحقیقات ایجاد هماهنگی در تمام سطوح زنجیره‌ی تامین است.^[۱۷-۱۸] در تحقیق حاضر، مدل توسعه‌یافته‌ی ذکر شده^[۱۹] در زنجیره‌ی تامین سه‌سطحی و در دو حالت مرور دوره‌یی و دائم موجودی مورد بررسی قرار می‌گیرد.

در ادامه و در بخش دوم مدل پیشنهادی توصیف می‌شود؛ در این بخش سیستم موجودی و مفروضات مدل شرح داده می‌شوند. در بخش سوم، مدل‌سازی سیستم موجودی ارائه می‌شود؛ در این بخش ابتدا مدل قطعی و سپس مدل تصادفی معرفی می‌شود. مدل تصادفی در هر دو حالت مرور پیوسته و مرور دوره‌یی موجودی مورد بحث قرار می‌گیرد. کمبود نیز به دو صورت فروش از دست رفته و تقاضای عقب‌افتاده در نظر گرفته می‌شود. در بخش چهارم با ارائه مثال‌های عددی، مدل معرفی شده تحلیل می‌شود. حل مدل در این بخش با استفاده از الگوریتم زنگنه است. در نهایت، بخش پنجم، به نتیجه‌گیری و پیشنهاداتی برای تحقیقات آتی اختصاص یافته است.

۲. توصیف مدل

در این نوشتار یک سیستم موجودی سه‌سطحی بازگشتی بررسی می‌شود. بازگشتی‌ها از نوع بازسازی هستند که بعد از عملیات بازیافت به خوبی نوع جدید و دست اول هستند. نزخ بازیافت ۱۰۰٪ فرض شده و می‌توان آن را با نمونه‌های جدید — که از یک



شکل ۲. متوسط موجودی در مراحل ۱، ۲، ۳ و ۴ (۴، ۳، ۲، ۱). ($n = 4, m = 2, r = 0, 5$)

$$\text{مساحت موجودی در دست: } \frac{1}{2} \frac{Q^2}{\mu} n(n-1)(1-r)$$

$$\text{متوسط موجودی در دست در مرحله ۲: } \frac{1}{2} Q(n-1)(1-r)$$

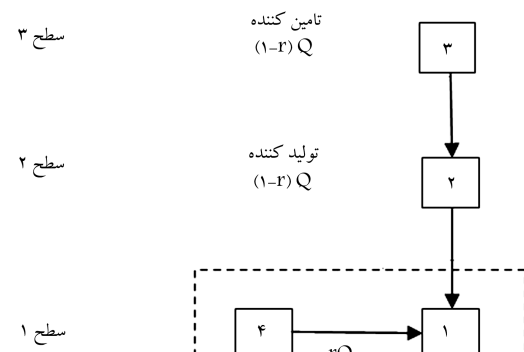
به همین ترتیب متوسط موجودی در مرحله ۳ عبارت است از:
 $\frac{1}{2} Qn(m-1)(1-r)$

بنابراین هزینه کل سیستم چنین به دست می‌آید:

$$\begin{aligned} TC(m, n, Q) &= A_1 \frac{\mu}{Q} + A_r \frac{\mu}{nQ} + A_r \frac{\mu}{nmQ} + A_r \frac{\mu}{Q} \\ &+ \frac{1}{2} Qh_1 + \frac{1}{2} Q(n-1)(1-r)h_r \\ &+ \frac{1}{2} Qn(m-1)(1-r)h_r + \frac{1}{2} rQh_r \end{aligned}$$

با مشتقگیری نسبت به Q خواهیم داشت:

$$Q * (n, m) = \sqrt{\frac{2\mu(A_1 + \frac{A_r}{n} + \frac{A_r}{nm} + A_r)}{h_r + (n-1)(1-r)h_r + n(1-r)(m-1)h_r + rh_r}}$$



شکل ۱. سیستم موجودی سه‌سطحی.

قطعی بررسی می‌شود. از آنجا که نزهات تقاضا و برگشتی ایستا و یکنواخت‌اند، مدل‌های موجودی با متوسط هزینه و افق زمانی نامحدود توسعه داده می‌شود. در این مقاله هزینه‌های نگهداری براساس سطوح متوسط زمانی موجودی ارزیابی، و کمبود در مدل تصادفی سیستم بررسی می‌شود. نتایج مدل قطعی برای مدل‌های تصادفی مورد استفاده قرار می‌گیرند.

A_i : هزینه‌ی آماده‌سازی در مرحله‌ی i ام ($i = 1, 2, 3, 4$);

h_i : هزینه‌ی نگهداری موجودی هر واحد در دوره در مرحله‌ی i ام;

μ : تقاضا در هر دوره;

r : ضریبی از تقاضای برگشتی در هر دوره;

Q : مقدار سفارش/اندازه دسته;

T : طول سیکل;

m, n : ضریب عدد صحیح.

سیستم شامل چهار مرحله است: در مرحله‌ی اول با تقاضای مشتری مواجه می‌شود؛ در مرحله‌ی دوم در سطح دوم محصلو توسط کارخانه تولید می‌شود؛ در مرحله‌ی سوم مواد اولیه‌ی مورد نیاز کارخانه تأمین می‌شود. در مرحله‌ی چهارم که متعلق به سطح اول است و انبار خدمت‌رسایی را در مرحله‌ی ۱ تکمیل می‌کند، بازگشتهای بازسازی می‌شوند. این سیستم در شکل ۱ نشان داده شده است.

چنان‌که در شکل ۱ مشاهده می‌شود، اگر مقدار سفارش در مرحله‌ی ۱ را برابر Q فرض کنیم، طول سیکل در این مرحله Q/μ خواهد بود. مقدار بازسازی شده در مرحله‌ی ۴ در سیکل Q/μ برابر rQ است. بنابراین میزان سفارش در مراحل ۲ و ۳ برابر $(1-r)Q$ است. میزان سفارش در مرحله‌ی دوم برابر $(1-r)nQ$ است که در آن n یک ضریب عدد صحیح است. همچنین میزان سفارش در مرحله‌ی سوم نیز برابر $(1-r)mQ$ است که در آن نیز m یک ضریب عدد صحیح در نظر گرفته شده است. شکل ۲ نمودار موجودی را نشان می‌دهد. در این شکل مشخص است که مراحل ۱ و ۴ سیکل یکسانی دارند، زیرا در بخش ۲ فرض شد که پرسازی مجدد محصولات جدید از مرحله‌ی ۲ و محصولات بازسازی شده مرحله‌ی ۴ در مرحله‌ی ۱ به طور همزمان است و در یک نقطه‌ی زمانی می‌رسند. همچنین از شکل ۲ آشکار است که تعداد آماده‌سازی‌های در مراحل ۱ الی ۴ به ترتیب برابر Q/μ ، nQ/μ ، mQ/μ است. متوسط موجودی در دست در مراحل ۱ و ۴ به ترتیب $Q/2$ و $rQ/2$ است. متوسط موجودی در مرحله‌ی ۲ چنین به دست می‌آید:

$$\frac{1}{2} \frac{nQ^2}{\mu} n(1-r) = \text{مساحت مثلث بزرگ تر}$$

$$\frac{1}{2} \frac{Q^2}{\mu} n(1-r) = \text{مساحت مثلث کوچک تر}$$

نمایش داده می‌شود و درنتیجه: $D - R \approx (1 - r)D - \epsilon$

$$D - R \approx N((1 - r)\mu, \delta^2 + \sigma^2(1 - r)^2)$$

چنان‌که قبل‌گفته شد انبار خدمت رسانی، تقاضاهای ناشی از برگشتی‌ها را ذوراً پاسخ نمی‌دهد بلکه به صورت تقاضاهای عقب‌افتاده خواهد بود. به عبارتی، به مشتریان معادل یک سیکل زمانی بعدی پاسخ داده خواهد شد و به آنها این نکته ذکر می‌شود که تقاضایشان بعد از این که بازگشتی‌های بازسازی شده در انبار خدمت رسانی مجدد پرسازی شد پاسخ داده می‌شود. اما به تقاضاهای جدید فوراً از طریق انبار خدمت رسانی پاسخ داده می‌شود و اگر این تقاضا در انبار موجود نباشد به عنوان تقاضای عقب‌افتاده خواهد بود و به محض این که بازپرسازی انجام گیرد پاسخ داده می‌شود. بنابراین، می‌توان برای سطح نهایی سفارش موجودی⁷ چنین نوشت:

$$S_1 = (1 - r)\mu(T + l_1) + k_1\sqrt{(1 - r)^2\sigma^2 + \delta^2}\sqrt{T + l_1}$$

$$S_2 = (1 - r)\mu nT + k_2\sqrt{(1 - r)^2\sigma^2 + \delta^2}\sqrt{nT}$$

$$S_3 = (1 - r)\mu nmT + k_3\sqrt{(1 - r)^2\sigma^2 + \delta^2}\sqrt{nmT}$$

لازم به ذکر است از آنجا که تقاضا و بازگشتی‌ها به صورت یکنواخت در مرحله‌ی ۱ رخ می‌دهد، حفاظت در مقابل عدم قطعیت برای هم طول دوره و هم فاصله‌ی زمانی تحويل است. در حالی که در مرحله‌ی ۲ و ۳ سفارش‌ها در مرحله‌ی ۱ و در فواصل زمانی گستته انجام می‌شود، بنابراین صرفاً عبارت طول دوره در فرمول S_2 و S_3 به کار رفته است.^[۴]

الف) فروش از دست رفته^۸

در این مورد هیچ تقاضای عقب‌افتاده‌ی وجود ندارد و معادل فروش از دست رفته خواهد بود. برای تعیین کل هزینه‌ی مورد انتظار (ETC) در هر دوره‌ی زمانی محاسباتی انجام می‌شود که در ادامه به آنها خواهیم پرداخت.

کل هزینه‌ی آمده‌سازی در هر دوره‌ی زمانی در مرحله‌ی ۱، ۲، ۳ و ۴ برابر است

با:

$$= \frac{A_1}{T} + \frac{A_2}{nT} + \frac{A_3}{mnT} + \frac{A_4}{T}$$

کل هزینه‌ی نگهداری موجودی در هر دوره‌ی زمانی در مرحله‌ی ۱، ۲، ۳ و ۴ برابر است با:

$$= \frac{1}{2}\mu Th_1 + \frac{1}{2}(n - 1)(1 - r)\mu Th_2 + \frac{1}{2}n(1 - r)(m - 1)\mu Th_3 + \frac{1}{2}\mu Th_4$$

هزینه‌ی ذخیره‌ی اطمینان مورد انتظار در هر دوره‌ی زمانی در مرحله‌ی ۱ (بدون در نظر گرفتن تقاضای منفی و کمیود) برابر است با:

$$= h_1 \int_{-\infty}^{s_1} (s_1 - x_{T+l_1}) f(x_{T+l_1}) ds_1 \approx h_1 k_1 \sqrt{(1 - r)^2\sigma^2 + \delta^2} \sqrt{T + l_1}$$

هزینه‌ی ذخیره اطمینان در مرحله‌ی ۲ (بدون در نظر گرفتن تقاضای منفی) برابر است با:

$$= h_2 \int_{-\infty}^{s_2} (s_2 - x_{nT}) f(x_{nT}) dx_{nT} \approx h_2 (k_2 \sqrt{(1 - r)^2\sigma^2 + \delta^2} \sqrt{nT} + \sqrt{(1 - r)^2\sigma^2 + \delta^2} \sqrt{nT} \{\varphi(k_2) - k_2 + k_2 \phi(k_2)\})$$

$$T * (n, m) =$$

$$\sqrt{\frac{2(A_1 + \frac{A_2}{n} + \frac{A_3}{nm} + A_4)}{\mu(h_1 + (n - 1)(1 - r)h_2 + n(1 - r)(m - 1)h_3 + rh_4)}}$$

$$Tc * (n, m) =$$

$$\sqrt{\frac{2\mu(A_1 + \frac{A_2}{n} + \frac{A_3}{nm} + A_4)*}{(h_1 + (n - 1)(1 - r)h_2 + n(1 - r)(m - 1)h_3 + rh_4)}}$$

۲.۳. مدل تصادفی

با استفاده از این مدل نرخ‌های بازگشتی و تقاضای یکنواخت، ایستا و تصادفی بررسی می‌شود. چنان‌که قبل ذکر شد، حالت‌هایی که در دو بخش فروش از دست رفته و تخصیص یافته مدل‌سازی می‌شود عبارت‌اند از:

-- مدیریت موجودی در زنجیره‌ی تأمین سه‌سطحی با تقاضا و برگشتی دارای توزیع نرمال با سیستم مرور دوره‌یی؛

-- مدیریت موجودی در زنجیره‌ی تأمین سه‌سطحی با تقاضا و برگشتی دارای توزیع نرمال با سیستم مرور دائم.

نمادهای مورد استفاده، علاوه بر نمادهای بخش قبلی، عبارت‌اند از:

z : حداکثر سطح سفارش در مرحله‌ی نام؛

k_i : فاکتور ایمنی^۹ در مرحله‌ی نام؛

l_i : فاکتور زمانی تحويل در مرحله‌ی نام؛

p : هزینه‌ی کمبود به‌ازای هر واحد مرحله‌ی نام؛

f :تابع چگالی تقاضا؛

μ : میانگین تقاضا در هر دوره؛

λ : انحراف استاندارد خطای تصادفی در هر دوره؛

ϕ : PDF تابع چگالی توزیع نرمال استاندارد؛

Φ : CDF تابع توزیع تجمعی نرمال استاندارد؛

Cov : کوواریانس؛

COR : همبستگی.

۱.۲.۳. تقاضا و بازگشتی با سیستم مرور دوره‌یی

فرض کنید که $D \sim N(\mu, \sigma^2)$ و R متغیرهایی تصادفی‌اند که تقاضا و بازگشتی را نشان می‌دهند. تقاضا و بازگشتی‌ها در دوره‌های متفاوت مستقل فرض می‌شود اگرچه به‌ازای هر دوره با رابطه‌ی $R = rD + \epsilon$ ($R \sim N(0, \delta^2)$ ($\epsilon \sim N(0, \sigma^2)$)) همبستگی دارد. با این فرض که $Cov(D, \epsilon) = 0$ داریم:

$$COR(D, R) = \frac{Cov(D, R)}{\sigma(r^2\sigma^2 + \delta^2)^{1/2}} = \frac{r\sigma^2}{\sigma(r^2\sigma^2 + \delta^2)^{1/2}}$$

در مرحله‌ی ۱، ۲ و ۳ سیاست مرور دوره‌یی دنبال می‌شود و تعداد n سیکل به‌ازای هر سیکل مرحله‌ی ۱ در مرحله‌ی ۲، و mn سیکل در مرحله‌ی ۳ وجود دارد. به عبارت دیگر، اگر مرور دوره‌یی در مرحله‌ی ۱ در هر T پریود زمانی رخ دهد، در مرحله‌ی ۲ در هر nT دوره زمانی و در مرحله‌ی ۳ در هر mnT دوره زمانی رخ خواهد داد. میزان سفارش در مرحله‌ی ۱ در واقع تقاضای مرحله‌ی ۲ است. میزان تقاضای خالص در هر تکرار در مرحله‌ی ۱، ۲ و ۳ بعد از کاستن برگشتی‌ها به صورت

هزینه‌ی آماده‌سازی و هزینه‌ی نگه‌داری موجودی مراحل ۱ تا ۳ و هزینه‌ی ذخیره‌ی اطمینان ۲ و ۳ به همان صورت بخش قبلی باقی می‌ماند.

در مرحله‌ی ۱، n دوره بهازای هر دوره در مرحله‌ی ۲ وجود دارد و فرض می‌شود که ۱- n دوره‌ی اول با هیچ کمبودی در مرحله‌ی ۲ رو به رو نمی‌شود و میزان کمبود در سیکل آخر مرحله‌ی ۱ اتفاق می‌افتد. بنابراین برای ۱- n دوره‌ی اول میزان ذخیره‌ی اطمینان و کمبود بهمان صورت بخش قبل باقی خواهد ماند. درمورد دوره‌ی پایانی بسته به این که کمبودی در مرحله‌ی ۲ وجود دارد یا خیر، دو عبارت در ذخیره‌ی اینمی مرحله‌ی ۱ خواهد بود: x_{T+l_1} و y_{nT} که میزان تقاضای خالص را در دوره‌های l_1 و nT نشان می‌دهند. میزان کمبود در مرحله‌ی ۲ بهصورت s_2 است و چون هرگونه کمبود در این مرحله، در مرحله‌ی ۱ انکاس می‌یابد، این کمبود بهصورت $s_1 + s_2 - y_{nT} - (y_{nT} - s_2)$ یا s_1 خواهد بود. بنابراین:

$$\int_{y_{nT}=\infty}^{y_{nT}=s_1} \left[\int_{X_{T+l_1}}^{x_{T+l_1}} (S_1 - x_{T+l_1}) f_1(x_{T+l_1}) dx_{T+l_1} \right] f_1(y_{nT}) dy_{nT} \\ + \int_{y_{nT}=s_1}^{y_{nT}=\infty} \left[\int_{X_{T+l_1}=-\infty}^{x_{T+l_1}=s_1+s_2-y_{nT}} (s_1 + s_2 - y_{nT} - x_{T+l_1}) f_1(x_{T+l_1}) dx_{T+l_1} \right] f_1(y_{nT}) dy_{nT}$$

عبارة بالا را نمی‌توان بهصورت یک فرم ساده شده نوشت. از این رو تقریبی را برای جایگزین‌کردن میزان کمبود واقعی مرحله‌ی ۲ با میزان کمبود مورد انتظار به کار می‌بریم که عبارت است از:

$$\sqrt{(\lambda - r)^{\tau} \sigma^{\tau} + \delta^{\tau}} \sqrt{nT} \{ \varphi(k_r) - k_r + k_r \phi(k_r) \} \\ 1 - \phi(k_r)$$

و به اختصار:

$$\phi(k_r) [k_r \sqrt{(\lambda - r)^{\tau} \sigma^{\tau} + \delta^{\tau}} \sqrt{T + l_1}] \\ + (1 - \phi(k_r)) [k_r \sqrt{(\lambda - r)^{\tau} \sigma^{\tau} + \delta^{\tau}} \sqrt{T + l_1}]$$

که در آن k عبارت است از:

$$k = k_1 - \sqrt{\frac{nT}{T + l_1}} \frac{\varphi(k_r) - k_r + k_r \phi(k_r)}{1 - \phi(k_r)}$$

خطای ناشی از این تقریب قابل چشم‌پوشی است.^[۱۶] میزان کمبود مورد انتظار دوره‌ی پایانی عبارت است از:

$$\int_{y_{nT}=-\infty}^{y_{nT}=s_1} \left[\int_{X_{T+l_1}}^{x_{T+l_1}} (S_1 - x_{T+l_1}) f_1(x_{T+l_1}) dx_{T+l_1} \right] f_1(y_{nT}) dy_{nT} \\ + \int_{y_{nT}=s_1}^{y_{nT}=\infty} \left[\int_{x_{T+l_1}=-\infty}^{x_{T+l_1}=s_1+s_2-y_{nT}} (s_1 + s_2 - y_{nT} - x_{T+l_1}) f_1(x_{T+l_1}) dx_{T+l_1} \right] f_1(y_{nT}) dy_{nT} \\ f_1(x_{T+l_1}) dx_{T+l_1}] f_1(y_{nT}) dy_{nT} \approx \phi(k_r) k_r \sqrt{(\lambda - r)^{\tau} \sigma^{\tau} + \delta^{\tau}} \sqrt{T + l_1} \\ + (1 - \phi(k_r)) [k_r \sqrt{(\lambda - r)^{\tau} \sigma^{\tau} + \delta^{\tau}} \sqrt{T + l_1} \\ (\varphi(k) - k + k \phi(k))]$$

هزینه‌ی ذخیره‌ی اطمینان مورد انتظار در مرحله‌ی ۳ (بدون در نظر گرفتن تقاضای منفی) برابر است با:

$$= h_r \int_{-\infty}^{s_r} (s_r - x_{nmT}) f(x_{nmT}) dx_{nmT} \approx h_r (k_r \sqrt{(\lambda - r)^{\tau} \sigma^{\tau} + \delta^{\tau}} \sqrt{nmT} + \sqrt{(\lambda - r)^{\tau} \sigma^{\tau} + \delta^{\tau}} \sqrt{nmT} \{ \varphi(k_r) - k_r + k_r \phi(k_r) \})$$

هزینه‌ی کمبود مورد انتظار در هر دوره در مرحله‌ی ۱ برابر است با:

$$= \frac{P_1}{T} \int_{S_1}^{\infty} (x_{T+l_1} - s_1) f(x_{T+l_1}) dx_{T+l_1} \\ = \frac{P_1}{T} \sqrt{(\lambda - r)^{\tau} \sigma^{\tau} + \delta^{\tau}} \sqrt{T + l_1} \{ \varphi(k_1) - k_1 + k_1 \phi(k_1) \}$$

هزینه‌ی کمبود مورد انتظار در هر دوره در مرحله‌ی ۲ برابر است با:

$$= \frac{P_r}{nT} \int_{S_r}^{\infty} (x_{nT} - s_r) f(x_{nT}) dx_{nT} \\ = \frac{P_r}{nT} \sqrt{(\lambda - r)^{\tau} \sigma^{\tau} + \delta^{\tau}} \sqrt{nT} \{ \varphi(k_r) - k_r + k_r \phi(k_r) \}$$

هزینه‌ی کمبود مورد انتظار در هر دوره در مرحله‌ی ۳ برابر است با:

$$= \frac{P_r}{nmT} \int_{S_r}^{\infty} (x_{nmT} - s_r) f(x_{nmT}) dx_{nmT} \\ = \frac{P_r}{nmT} \sqrt{(\lambda - r)^{\tau} \sigma^{\tau} + \delta^{\tau}} \sqrt{nmT} \{ \varphi(k_r) - k_r + k_r \phi(k_r) \}$$

درنتیجه برای کل هزینه‌ی مورد انتظار (ETC) خواهیم داشت (مدل ۱):

$$ETC = \frac{A_1}{T} + \frac{A_r}{nT} + \frac{A_r}{mnT} + \frac{A_r}{T} \\ + \frac{1}{\tau} \mu T h_1 + \frac{1}{\tau} (n - 1) (\lambda - r) \mu T h_r \\ + \frac{1}{\tau} n (\lambda - r) (m - 1) \mu T h_r + \frac{1}{\tau} \mu T h_r \\ + \frac{P_1}{T} \sqrt{(\lambda - r)^{\tau} \sigma^{\tau} + \delta^{\tau}} \sqrt{T + l_1} \\ \{ \varphi(k_1) - k_1 + k_1 \phi(k_1) \} + h_1 k_1 \sqrt{(\lambda - r)^{\tau} \sigma^{\tau} + \delta^{\tau}} \\ \sqrt{T + l_1} h_1 k_r \sqrt{(\lambda - r)^{\tau} \sigma^{\tau} + \delta^{\tau}} \sqrt{nT} \\ + h_r k_r \sqrt{(\lambda - r)^{\tau} \sigma^{\tau} + \delta^{\tau}} \sqrt{nmT} \\ + (h_r + \frac{P_r}{nT}) \sqrt{(\lambda - r)^{\tau} \sigma^{\tau} + \delta^{\tau}} \sqrt{nT} \\ \{ \varphi(k_r) - k_r + k_r \phi(k_r) \} + (h_r + \frac{P_r}{nmT}) \\ \sqrt{(\lambda - r)^{\tau} \sigma^{\tau} + \delta^{\tau}} \sqrt{nmT} \{ \varphi(k_r) - k_r + k_r \phi(k_r) \}$$

ب) تخصیص^۹

در این حالت اگر کمبودی در مرحله‌ی ۲ هست، به مرحله‌ی ۱ اختصاص می‌یابد و در مرحله‌ی ۳ کمبود بهمان صورت تقاضای عقب‌افتاده خواهد بود. در چنین شرایطی هیچ هزینه‌ی کمبود جدأگانه‌ی در مرحله‌ی ۲ وجود ندارد و هرگونه هزینه‌ی کمبودی در مرحله‌ی ۲، در مرحله‌ی ۱ انکاس می‌یابد. در عبارت ETC ، کل

و برای هزینه‌ی کل خواهیم داشت (مدل ۲):

$$\begin{aligned} ETC = & \frac{A_1}{T} + \frac{A_r}{nT} + \frac{A_r}{mnT} + \frac{A_t}{T} + \frac{1}{r} \mu T h_1 \\ & + \frac{1}{r} (n-1)(1-r) \mu T h_r + \frac{1}{r} n(1-r)(m-1) \mu T h_r \\ & + \frac{1}{r} \mu T h_r + (h_1 + \frac{P_1}{T}) \sqrt{(1-r)^r \sigma^r + \delta^r} \sqrt{l_1} \{ \varphi(k_1) \\ & - k_1 + k_1 \phi(k_1) \} + (h_r + \frac{P_r}{nT}) \sqrt{(1-r)^r \sigma^r + \delta^r} \sqrt{l_r} \\ & + \{ \varphi(k_r) - k_r + k_r \phi(k_r) \} (h_r + \frac{P_r}{nmT}) \sqrt{(1-r)^r \sigma^r + \delta^r} \\ & \sqrt{l_r} \{ \varphi(k_r) - k_r + k_r \phi(k_r) \} \end{aligned}$$

ب) تخصیص

توضیحات همانند مطالب ارائه شده در بخش ۱، ۲ و ۳ است. در نتیجه ذخیره‌ی اطمینان عبارت است از:

$$\begin{aligned} & \frac{1}{n} \sqrt{(1-r)^r \sigma^r + \delta^r} \sqrt{l_1 + l_r} + \frac{n-1}{n} \sqrt{(1-r)^r \sigma^r + \delta^r} \sqrt{l_1} \\ & \text{کمیود در مرحله‌ی ۱ عبارت است از:} \\ & \frac{1}{n} \sqrt{(1-r)^r \sigma^r + \delta^r} \sqrt{l_1 + l_r} \{ \varphi(k_1) - k_1 + k_1 \phi(k_1) \} \\ & + \frac{n-1}{n} \sqrt{(1-r)^r \sigma^r + \delta^r} \sqrt{l_1} \{ \varphi(k_1) - k_1 + k_1 \phi(k_1) \} \end{aligned}$$

کل هزینه‌ی عبارت است از (مدل ۴):

$$\begin{aligned} ETC = & \frac{A_1}{T} + \frac{A_r}{nT} + \frac{A_r}{mnT} + \frac{A_t}{T} + \frac{1}{r} \mu T h_1 \\ & + \frac{1}{r} (n-1)(1-r) \mu T h_r + \frac{1}{r} n(1-r)(m-1) \mu T h_r \\ & + \frac{1}{r} \mu T h_r + \frac{n-1}{n} (h_1 + \frac{P_1}{T}) \sqrt{(1-r)^r \sigma^r + \delta^r} \sqrt{l_1} \\ & + \{ \varphi(k_1) - k_1 + k_1 \phi(k_1) \} \frac{1}{n} (h_r + \frac{P_r}{T}) \sqrt{(1-r)^r \sigma^r + \delta^r} \\ & \sqrt{l_1 + l_r} \{ \varphi(k_1) - k_1 + k_1 \phi(k_1) \} h_r \sqrt{(1-r)^r \sigma^r + \delta^r} \\ & \sqrt{l_r} \{ \varphi(k_r) - k_r + k_r \phi(k_r) \} + (h_r + \frac{P_r}{nmT}) \\ & \sqrt{(1-r)^r \sigma^r + \delta^r} \sqrt{l_r} \{ \varphi(k_r) - k_r + k_r \phi(k_r) \} \end{aligned}$$

۴. مثال‌های عددی و تحلیل نتایج

در این قسمت مدل‌های به دست آمده با مثال‌های عددی، با استفاده از جعبه‌ی ابزار الگوریتم زنگنه در نرم‌افزار متلب حل و تحلیل می‌شود.

با توجه به غیر خطی بودنتابع هزینه‌ی به دست آمده، و چون روش منحصر به فردی برای حل مسائل بهینه‌سازی با توابع غیر خطی وجود ندارد، استفاده از الگوریتم‌های فراابتکاری از قبیل الگوریتم زنگنه مفید به نظر می‌رسد. الگوریتم زنگنه یک تکنیک بهینه‌سازی است و در مسائلی کاربرد دارد که روش‌های ریاضی دقیق و بهینه برای حل آنها وجود ندارد.

این الگوریتم مبتنی بر نظریه‌ی تکامل داروین است. چهار فرایند اصلی در الگوریتم زنگنه عبارت‌اند از: ایجاد جمعیت کروموزوم‌ها (تبديل مجموعه‌ی از پاسخ‌های ممکن به شکل کروموزوم و زن)، انتخاب، ترکیب و جهش. در الگوریتم

$$\begin{aligned} ETC = & \frac{A_1}{T} + \frac{A_r}{nT} + \frac{A_r}{mnT} + \frac{A_t}{T} \\ & + \frac{1}{r} \mu T h_r + \frac{1}{r} (n-1)(1-r) \mu T h_r \\ & + \frac{1}{r} n(1-r)(m-1) \mu T h_r + \frac{1}{r} \mu T h_r \\ & + \frac{n-1}{n} [\frac{P_1}{T} \sqrt{(1-r)^r \sigma^r + \delta^r} \sqrt{T + l_1} \\ & \{ \varphi(k_1) - k_1 + k_1 \phi(k_1) \} + h_1 k_1 \sqrt{(1-r)^r \sigma^r + \delta^r} \\ & + \sqrt{T + l_1}] \frac{1}{n} [\phi(k_r) (\frac{P_r}{T} \sqrt{(1-r)^r \sigma^r + \delta^r} \sqrt{T + l_r} \\ & + \{ \varphi(k_r) - k_r + k_r \phi(k_r) \} (1 - \phi(k_r)) \\ & (\frac{kp_r}{T} \sqrt{(1-r)^r \sigma^r + \delta^r} \sqrt{T + l_r} \{ \varphi(k_r) - k_r + k_r \phi(k_r) \})] \\ & h_r (k_r \sqrt{(1-r)^r \sigma^r + \delta^r} \sqrt{nT} + \sqrt{(1-r)^r \sigma^r + \delta^r} \\ & \sqrt{nT} \{ \varphi(k_r) - k_r + k_r \phi(k_r) \}) + h_r k_r \sqrt{(1-r)^r \sigma^r + \delta^r} \\ & \sqrt{nmT} + (h_r + \frac{P_r}{nmT}) \sqrt{(1-r)^r \sigma^r + \delta^r} \sqrt{nmT} \\ & \{ \varphi(k_r) - k_r + k_r \phi(k_r) \} \end{aligned}$$

۲.۲.۳. تقاضا و برگشتی‌ها با سیاست مرور دائم

در این حالت نقطه‌ی سفارش مجدد برای هر مرحله به صورت جداگانه محاسبه می‌شود:^[۲۲]

$$ROP_1 = (1-r) \mu l_1 + k_1 \sqrt{(1-r)^r \sigma^r + \delta^r} \sqrt{l_1}$$

$$ROP_r = (1-r) \mu l_r + k_r \sqrt{(1-r)^r \sigma^r + \delta^r} \sqrt{l_r}$$

$$ROP_r = (1-r) \mu l_r + k_r \sqrt{(1-r)^r \sigma^r + \delta^r} \sqrt{l_r}$$

الف) فروش از دست رفته

هزینه‌ی ذخیره‌ی اطمینان مورد انتظار در مرحله‌ی ۱، ۲ و ۳:

$$= h_1 \sqrt{(1-r)^r \sigma^r + \delta^r} \sqrt{l_1} \{ \varphi(k_1) - k_1 + k_1 \phi(k_1) \}$$

$$= h_r \sqrt{(1-r)^r \sigma^r + \delta^r} \sqrt{l_r} \{ \varphi(k_r) - k_r + k_r \phi(k_r) \}$$

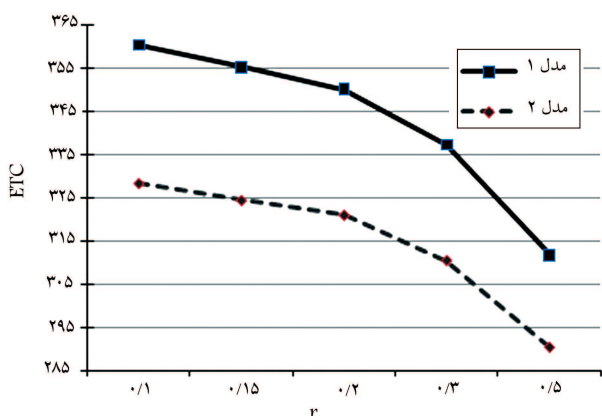
$$= h_r \sqrt{(1-r)^r \sigma^r + \delta^r} \sqrt{l_r} \{ \varphi(k_r) - k_r + k_r \phi(k_r) \}$$

هزینه‌ی کمیود مورد انتظار در مرحله‌ی ۱، ۲ و ۳:

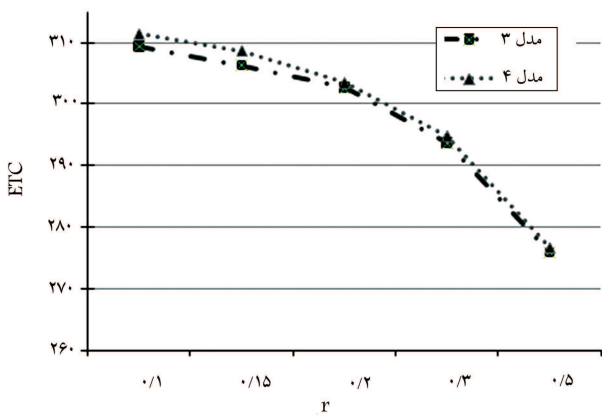
$$\begin{aligned} & = \frac{P_1}{T} \int_{ROP_1}^{\infty} \frac{(x_{l_1} - ROP_1) f(x_{l_1}) dx_{l_1}}{\frac{P_1}{T} \sqrt{(1-r)^r \sigma^r + \delta^r} \sqrt{l_1} \{ \varphi(k_1) - k_1 + k_1 \phi(k_1) \}} = \\ & = \frac{P_r}{nT} \int_{ROP_r}^{\infty} \frac{(x_{l_r} - ROP_r) f(x_{l_r}) dx_{l_r}}{\frac{P_r}{nT} \sqrt{(1-r)^r \sigma^r + \delta^r} \sqrt{l_r} \{ \varphi(k_r) - k_r + k_r \phi(k_r) \}} = \\ & = \frac{P_r}{nmT} \int_{ROP_r}^{\infty} \frac{(x_{l_r} - ROP_r) f(x_{l_r}) dx_{l_r}}{\frac{P_r}{nmT} \sqrt{(1-r)^r \sigma^r + \delta^r} \sqrt{l_r} \{ \varphi(k_r) - k_r + k_r \phi(k_r) \}} \end{aligned}$$

جدول ۱. مقادیر متغیرها به ازای $\sigma = 1$

۴ مدل	۳ مدل	۲ مدل	۱ مدل	
۱	۱	۱	۱	n
۲	۲	۲	۲	M
۰,۷۹	۰,۷۹	۰,۷۹	۰,۷۹	T
۱,۰۴	۱,۶۷	۰,۹۴	۱,۰۰	k_1
۳,۶۰	۱,۹۷	۰	۱,۴۵	k_2
۷,۷۱	۷,۰۷	۰,۹۳	۱,۶۳	k_3
۲۹۶,۹۶۱	۲۹۶,۴۶۸	۳۰۰,۶۸۹	۳۰۱,۴۷۴	ETC



شکل ۳. نمودار تغییرات هزینه‌ی کل نسبت به تغییرات نرخ بازگشتی (مرور دوره‌ی).



شکل ۴. نمودار تغییرات هزینه‌ی کل نسبت به تغییرات نرخ بازگشتی (مرور دائم).

چنان که در جداول ۴ و ۵ مشاهده می‌شود هزینه به ازای پارامترهای یکسان در حالت فروش از دست رفته بیشتر از حالت تخصیص است. البته چنانچه هزینه‌ی کمبود در مرحله‌ی ۱ بسیار بزرگ‌تر از هزینه‌ی فروش از دست رفته در مرحله‌ی ۲ باشد، ممکن است فروش از دست رفته اقتصادی‌تر باشد.^[۱۷] به منظور بررسی معنی‌داری این تفاوت هزینه‌ها از آزمون میانگین مشاهدات زوجی استفاده می‌شود. این آزمون نشان داد که در سطح اطمینان ۹۵ درصد ($t_{0,95} = 1,66$) هزینه‌های این دو حالت تفاوت معنی‌داری با هم دارند ($t = 17,91$).

در جداول ۴ و ۵ به ازای پارامترهای یکسان، هزینه فروش از دست رفته کمتر از حالت تخصیص، ولی این تقاضه هزینه نسبت به سیستم مرور دوره‌ی کمتر است. آزمون آماری در این مورد نشان داد که در اینجا هزینه‌ها تقاضه معنی داری باهم ندارند ($t = -12.71$).

ژنتیک به عنوان اولین مرحله لازم است مجموعه‌یی از جواب‌های شدنی به عنوان جمعیت اولیه ایجاد شود. اعضای این مجموعه معمولاً به صورت تصادفی انتخاب می‌شود. تعداد اعضای جمعیت به نوع مسئله بستگی دارد. در واقع تعداد اعضاء پارامتری است که با تغییر آن می‌توان دقت جواب‌ها و سرعت هم‌گرایی جستجو را بهبود بخشید.

براساس تجربه بهتر است تعداد اعضای جمعیت عددی بین ۱۰ تا ۱۶۰ باشد. بعد از انتخاب جمیعت، لازم است اعضای آن به شکل کروموزوم درآیند. هر کروموزوم آرایشی از چند زن است. در مرحله‌ی تبدیل (کدگذاری^(۱)، جواب‌ها به زن‌ها تبدیل می‌شوند. روش‌های مختلفی برای کدگذاری وجود دارد. انتخاب روش وابسته به نوع مسئله‌ی است که به آن پرداخته می‌شود. مهم‌ترین نوع کدگذاری، کدگذاری باینزی است. ارزش تناسب به اندازی هر کدام از اعضای جمیعت با استفاده از تابع برازش (در اینجا تابع هزینه) اندازه‌گیری می‌شود.

گام بعدی ایجاد دومین جمیعت از جامعه، براساس فرایندهای انتخاب است. روش‌های مختلفی از قبیل نخبه‌گزینی یا انتخاب چرخان برای الگوریتم‌های ژنتیک وجود دارد که می‌توان برای انتخاب ژن‌ها از آن‌ها استفاده کرد. وقتی کروموزوم‌ها انتخاب شدند، باید به طور تصادفی برای افزایش تناسب اصلاح شوند. دو راه حل اساسی برای این کار وجود دارد. اولین و ساده‌ترین راه «جهش» است که طی آن، تغییری کوچک در یک نقطه از کد خصوصیات ایجاد می‌شود. دومین روش «ترکیب» نام دارد که براساس فرایندهای کروموزوم‌ها در طول تولید مثل در موجودات زنده شبیه‌سازی شده است. این فرآیند آن قدر تکرار می‌شود تا به آخرین مرحله رسید.

در این نوشتار تعداد اعضای جمعیت برابر با 10^0 ، احتمال رخداد ترکیب 80 درصد، و احتمال رخداد جهش 20 درصد در نظر گرفته شده است. با در نظر گرفتن مقادیر زیر، تأثیر تغییر پارامترها در چهار مدل بررسی می شود.

$$\mu = 10^\circ, \quad \sigma = 1, 5, 10^\circ, \quad \delta = 1, 2, 3$$

$$r = 0, 1, 0, 10, 0, 2, 0, 3, 0, 5$$

$$A_1 = 20^\circ, \quad A_2 = 10^\circ, \quad A_3 = 5^\circ, \quad A_4 = 20^\circ$$

$$h_{\text{v}} = \text{r}, \quad h_{\text{r}} = \text{v}, \quad h_{\text{r}} = \text{r}, \quad h_{\text{r}} = \circ, \text{d}$$

$$p_1 = 1^\circ, 2^\circ, \quad p_2 = 2^\circ, \quad p_3 = 15$$

$$l_1 = 0, 25, \quad l_2 = 0, 5, \quad l_3 = 0, 5$$

برای تمام 60 مثالی که بهازی هریک از مدل‌ها بررسی می‌شود، مقادیر m , n , T با حل مدل قطعی به دست می‌آید و سپس با جایگذاری این مقادیر در مدل‌های تصادفی، هزینه‌ی کمینه‌ی هر معادله و مقادیر k_1 , k_2 , k_3 محاسبه می‌شود. برای مثال، بهازی مقادیر $\sigma = 1$, $r = 0.1$, $\delta = 0.01$, $p = 0.1$ مقدار متغیرها بهازی هریک از مدل‌ها آمده است (جدول ۱).

از جداول ۲ الی ۵ و همچنین شکل های ۳ و ۴ می توان نتیجه گرفت که هزینه های کل با افزایش نرخ بازگشتی ها کاهش می یابد. همچنین با توجه به این که بهمازی مقادیر ۱/۱۵٪، برای نرخ بازگشتی مقادیر n برابر ۲، و برای مقادیر $1/2$ و $1/3$ مقدار n برابر ۳، و بهمازی نرخ بازگشتی $5/5$ ٪ مقادیر n برابر ۴ به دست می آید، می توان نتیجه گرفت که با افزایش نرخ بازگشتی مقادیر n نیز افزایش بافتne است.

همچنین در تمام جداول ۲ الی ۵ می‌توان مشاهده کرد که با افزایش ۶ میزان هزینه افزایش یافته است (شکل های ۵ و ۶). با افزایش مقدار m نیز هزینه در جداول ۲ و ۳ افزایش یافته اما در جدول ۴ و ۵ تغییر چندانی در هزینه ایجاد نشده است. در تمامی جداول، با افزایش، مقدار σ هزینه کا، زن؛ افزایش، یافته است (شکل ۷، ۸).

جدول ۲. مقدار ETC مدل ۱ به ازای مقادیر متفاوت r, σ, δ, P_1

$\sigma = 10$			$\sigma = 5$			$\sigma = 1$			P_1	R
$\delta = 3$	$\delta = 2$	$\delta = 1$	$\delta = 3$	$\delta = 2$	$\delta = 1$	$\delta = 3$	$\delta = 2$	$\delta = 1$		
۴۰۶,۵۲۸	۴۰۱,۳۳۵	۴۰۱,۳۲۸	۳۵۷,۴۰۵	۳۵۱,۶۰۲	۳۴۷,۷۸۸	۳۲۹,۹۹۸	۳۱۸,۷۱۶	۳۰۸,۴۷۴	۱۰	۰/۱
۴۱۳,۸۹۴	۴۱۰,۳۰۰	۴۰۸,۱۶۰	۳۶۱,۴۹۱	۳۵۵,۲۹۲	۳۵۱,۲۶۲	۳۲۲,۳۵۹	۳۲۰,۲۳۵	۳۰۹,۴۸۷	۲۰	
۳۹۸,۵۶۷	۳۹۵,۱۵۷	۳۹۳,۰۹۸	۳۵۲,۶۲۳	۳۴۶,۵۳۹	۳۴۲,۵۶۵	۳۲۷,۵۳۶	۳۱۶,۱۰۰	۳۰۵,۷۸۳	۱۰	۰/۱۵
۴۰۵,۴۳۲	۴۰۱,۷۵۳	۳۹۹,۵۲۵	۳۵۶,۶۰۱	۳۵۰,۰۸۴	۳۴۵,۸۴۹	۳۲۹,۷۸۴	۳۱۷,۷۷۹	۳۰۶,۷۶۶	۲۰	
۳۹۲,۳۲۴	۳۸۸,۰۵۱	۳۸۶,۳۰۶	۳۴۸,۴۰۹	۳۴۱,۹۱۶	۳۲۷,۵۹۰	۳۲۵,۰۰۸	۳۱۳,۲۰۰	۳۰۲,۴۵۹	۱۰	۰/۲
۳۹۷,۹۳۹	۳۹۳,۹۳۶	۳۹۱,۰۶۳	۳۵۱,۷۰۱	۳۴۴,۸۲۹	۳۴۰,۳۰۷	۳۲۷,۰۲۲	۳۱۴,۷۰۷	۳۰۳,۲۹۷	۲۰	
۳۷۴,۰۷۰	۳۶۹,۹۴۰	۳۶۷,۳۱۲	۳۲۶,۷۷۷	۳۲۹,۶۱۳	۳۲۴,۷۵۵	۳۱۷,۸۰۴	۳۰۵,۸۸۰	۲۹۴,۷۳۳	۱۰	۰/۳
۳۷۹,۱۸۸	۳۷۴,۷۹۸	۳۷۲,۰۷۹	۳۲۹,۸۸۴	۳۲۲,۲۹۳	۳۲۷,۲۰۹	۳۱۹,۱۹۰	۳۰۷,۲۸۶	۲۹۵,۵۷۶	۲۰	
۳۳۸,۹۲۲	۳۲۳,۲۶۸	۳۲۹,۶۳۷	۳۱۴,۴۴۸	۳۰۵,۵۲۲	۲۹۹,۰۰۷	۳۰۳,۴۲۰	۲۹۰,۹۶۸	۲۷۸,۹۴۱	۱۰	۰/۵
۳۴۲,۶۴۳	۳۳۶,۶۶۴	۳۳۲,۸۳۶	۳۱۶,۸۷۹	۳۰۷,۴۸۳	۳۰۰,۶۸۵	۳۰۵,۳۶۰	۲۹۲,۲۵۰	۲۷۹,۶۵۴	۲۰	

 جدول ۳. مقدار ETC مدل ۲ به ازای مقادیر متفاوت r, σ, δ, P_1

$\sigma = 10$			$\sigma = 5$			$\sigma = 1$			P_1	R
$\delta = 3$	$\delta = 2$	$\delta = 1$	$\delta = 3$	$\delta = 2$	$\delta = 1$	$\delta = 3$	$\delta = 2$	$\delta = 1$		
۳۵۱,۶۶۶	۳۴۹,۹۶۹	۳۴۹,۰۱۲	۳۲۶,۱۱۵	۳۲۲,۱۰۲	۳۲۱,۱۱۸	۳۱۱,۸۷۰	۳۰۵,۹۹۷	۳۰۰,۶۸۹	۱۰	۰/۱
۳۵۷,۵۸۵	۳۵۶,۱۴۵	۳۵۴,۸۱۵	۳۲۹,۵۴۳	۳۲۶,۱۹۷	۳۲۴,۰۶۷	۳۱۳,۸۳۳	۳۰۷,۴۰۸	۳۰۱,۰۳۳	۲۰	
۳۴۶,۳۷۸	۳۴۴,۶۱۶	۳۴۲,۰۵۳	۳۲۲,۵۲۷	۳۱۹,۳۶۹	۳۱۷,۲۹۶	۳۰۹,۴۸۳	۳۰۳,۵۸۰	۲۹۸,۱۹۴	۱۰	۰/۱۵
۳۵۲,۰۲۷	۳۵۰,۱۰۸	۳۴۸,۰۴۴	۳۲۵,۷۹۳	۳۲۲,۳۱۸	۳۲۰,۰۴۵	۳۱۱,۴۶۷	۳۰۳,۹۲۵	۲۹۹,۰۰۷	۲۰	
۳۴۲,۸۶۱	۳۴۰,۸۹۰	۳۳۹,۶۸۰	۳۱۹,۵۳۲	۳۱۶,۰۷۴	۳۱۳,۷۶۵	۳۰۷,۰۶۴	۳۰۰,۸۰۸	۲۹۵,۰۶۲	۱۰	۰/۲
۳۴۷,۸۲۸	۳۴۵,۷۴۹	۳۴۴,۳۷۱	۳۲۲,۴۳۵	۳۱۸,۶۰۹	۳۱۶,۱۵۹	۳۰۸,۸۶۹	۳۰۲,۰۷۸	۲۹۵,۰۰۵	۲۰	
۳۲۹,۴۴۵	۳۲۷,۲۵۰	۳۲۵,۸۶۰	۳۰۹,۸۲۷	۳۰۵,۸۵۸	۳۰۳,۲۸۵	۲۹۹,۶۰۴	۲۹۳,۲۷۷	۲۸۷,۳۶۷	۱۰	۰/۳
۳۲۴,۳۲۴	۳۲۱,۴۷۳	۳۲۹,۹۶۵	۳۱۲,۳۴۰	۳۰۸,۱۹۹	۳۰۵,۴۰۹	۳۰۱,۳۹۳	۲۹۴,۵۲۰	۲۸۸,۰۷۶	۲۰	
۳۰۴,۳۹۲	۳۰۱,۳۵۱	۲۹۹,۴۱۹	۲۹۱,۲۶۸	۲۸۶,۴۷۸	۲۸۳,۰۲۹	۲۸۵,۳۸۷	۲۷۸,۷۲۱	۲۷۲,۲۹۴	۱۰	۰/۵
۳۰۷,۷۲۷	۳۰۴,۴۴۵	۳۰۲,۳۳۱	۲۹۳,۵۱۱	۲۸۸,۳۳۰	۲۸۴,۰۵۴	۲۸۷,۱۲۰	۲۷۹,۹۴۲	۲۷۲,۹۲۳	۲۰	

 جدول ۴. مقدار ETC مدل ۳ به ازای مقادیر متفاوت r, σ, δ, P_1

$\sigma = 10$			$\sigma = 5$			$\sigma = 1$			P_1	R
$\delta = 3$	$\delta = 2$	$\delta = 1$	$\delta = 3$	$\delta = 2$	$\delta = 1$	$\delta = 3$	$\delta = 2$	$\delta = 1$		
۳۲۱,۸۸۱	۳۲۱,۰۴۶	۳۲۰,۰۳۴	۳۰۹,۱۵۰	۳۰۷,۶۴۰	۳۰۶,۶۵۸	۳۰۲,۰۴۵	۲۹۹,۱۱۰	۲۹۶,۴۶۸	۱۰	۰/۱
۳۲۱,۸۸۱	۳۲۱,۰۴۶	۳۲۰,۰۳۴	۳۰۹,۱۵۰	۳۰۷,۶۴۰	۳۰۶,۶۵۸	۳۰۲,۰۴۵	۲۹۹,۱۱۰	۲۹۶,۴۶۸	۲۰	
۳۱۸,۱۰۴	۳۱۷,۲۲۵	۳۱۶,۸۳۲	۳۰۸,۲۰۷	۳۰۴,۶۳۰	۳۰۳,۰۵۹۰	۲۹۹,۷۰۲	۲۹۶,۷۰۲	۲۹۴,۰۶۶	۱۰	۰/۱۵
۳۱۸,۱۰۴	۳۱۷,۲۲۵	۳۱۶,۸۳۲	۳۰۸,۲۰۷	۳۰۴,۶۳۰	۳۰۳,۰۵۹۰	۲۹۹,۷۰۲	۲۹۶,۷۰۲	۲۹۴,۰۶۶	۲۰	
۳۱۳,۷۵۱	۳۱۲,۸۲۲	۳۱۲,۲۲۸	۳۰۲,۶۸۹	۳۰۱,۰۴۲	۲۹۹,۹۵۲	۲۹۶,۷۷۷	۲۹۳,۸۰۸	۲۹۱,۰۸۰	۱۰	۰/۲
۳۱۳,۷۵۱	۳۱۲,۸۲۲	۳۱۲,۲۲۸	۳۰۲,۶۸۹	۳۰۱,۰۴۲	۲۹۹,۹۵۲	۲۹۶,۷۷۷	۲۹۳,۸۰۸	۲۹۱,۰۸۰	۲۰	
۳۰۳,۳۵۴	۳۰۲,۳۰۶	۳۰۱,۶۰۴	۲۹۳,۹۷۱	۲۹۲,۱۶۰	۲۹۰,۹۴۵	۲۸۹,۱۹۸	۲۸۶,۱۹۷	۲۸۴,۳۹۳	۱۰	۰/۳
۳۰۳,۳۵۴	۳۰۲,۳۰۶	۳۰۱,۶۰۴	۲۹۳,۹۷۱	۲۹۲,۱۶۰	۲۹۰,۹۴۵	۲۸۹,۱۹۸	۲۸۶,۱۹۷	۲۸۴,۳۹۳	۲۰	
۲۸۲,۸۷۶	۲۸۱,۴۸۵	۲۸۰,۰۴۲	۲۷۶,۸۶۵	۲۷۴,۶۶۹	۲۷۳,۰۸۰	۲۷۴,۱۶۹	۲۷۱,۱۱۱	۲۶۸,۱۶۶	۱۰	۰/۵
۲۸۲,۸۷۶	۲۸۱,۴۸۵	۲۸۰,۰۴۲	۲۷۶,۸۶۵	۲۷۴,۶۶۹	۲۷۳,۰۸۰	۲۷۴,۱۶۹	۲۷۱,۱۱۱	۲۶۸,۱۶۶	۲۰	

جدول ۵. مقدار ETC مدل ۴ بهازای مقادیر متغیر r, σ, δ, P_1

$\sigma = 10$	$\sigma = 5$	$\sigma = 1$	P_1			R					
$\delta = 3$	$\delta = 2$	$\delta = 1$	$\delta = 3$	$\delta = 2$	$\delta = 1$	$\delta = 3$	$\delta = 2$	$\delta = 1$	$\delta = 3$	$\delta = 2$	$\delta = 1$
۳۲۵,۳۵۳	۳۲۴,۴۲۱	۳۲۳,۸۴۸	۳۱۱,۱۳۰	۳۰۹,۴۴۲	۳۰۸,۳۴۵	۳۰۳,۱۹۲	۲۹۹,۹۱۷	۲۹۶,۹۶۱	۱۰	۰/۱	
۳۲۵,۳۵۳	۳۲۴,۴۲۱	۳۲۳,۸۴۸	۳۱۱,۱۳۰	۳۰۹,۴۴۲	۳۰۸,۳۴۵	۳۰۳,۱۹۲	۲۹۹,۹۱۷	۲۹۶,۹۶۱	۲۰		
۳۲۱,۸۶۳	۳۲۰,۸۸۰	۳۲۰,۲۷۵	۳۰۸,۵۷۰	۳۰۶,۸۰۹	۳۰۵,۶۵۴	۳۰۱,۳۰۲	۲۹۸,۰۰۷	۲۹۵,۰۰۵	۱۰	۰/۱۵	
۳۲۱,۸۶۳	۳۲۰,۸۸۰	۳۲۰,۲۷۵	۳۰۸,۵۷۰	۳۰۶,۸۰۹	۳۰۵,۶۵۴	۳۰۱,۳۰۲	۲۹۸,۰۰۷	۲۹۵,۰۰۵	۲۰		
۳۱۵,۳۸۹	۳۱۴,۳۸۷	۳۱۳,۷۶۸	۳۰۳,۴۶۲	۳۰۱,۶۸۶	۳۰۰,۵۱۱	۲۹۷,۰۸۵	۲۹۳,۸۸۵	۲۹۰,۹۴۶	۱۰	۰/۲	
۳۱۵,۳۸۹	۳۱۴,۳۸۷	۳۱۳,۷۶۸	۳۰۳,۴۶۲	۳۰۱,۶۸۶	۳۰۰,۵۱۱	۲۹۷,۰۸۵	۲۹۳,۸۸۵	۲۹۰,۹۴۶	۲۰		
۳۰۵,۲۱۲	۳۰۴,۰۸۳	۳۰۳,۳۷۹	۲۹۵,۰۹۶	۲۹۳,۱۴۹	۲۹۱,۸۲۳	۲۸۹,۹۵۰	۲۸۶,۷۱۴	۲۸۳,۶۹۱	۱۰	۰/۳	
۳۰۵,۲۱۲	۳۰۴,۰۸۳	۳۰۳,۳۷۹	۲۹۵,۰۹۶	۲۹۳,۱۴۹	۲۹۱,۸۲۳	۲۸۹,۹۵۰	۲۸۶,۷۱۴	۲۸۳,۶۹۱	۲۰		
۲۸۳,۹۴۳	۲۸۲,۴۷۰	۲۸۱,۵۲۵	۲۷۷,۵۸۰	۲۷۵,۲۵۰	۲۷۳,۵۷۳	۲۷۴,۷۲۶	۲۷۱,۴۸۸	۲۶۸,۳۷۰	۱۰	۰/۵	
۲۸۳,۹۴۳	۲۸۲,۴۷۰	۲۸۱,۵۲۵	۲۷۷,۵۸۰	۲۷۵,۲۵۰	۲۷۳,۵۷۳	۲۷۴,۷۲۶	۲۷۱,۴۸۸	۲۶۸,۳۷۰	۲۰		

جدول ۶. مقایسه هزینه‌ی سیستم مرور دائم و دوره‌ی با تغییر هزینه‌ی نگهداری.

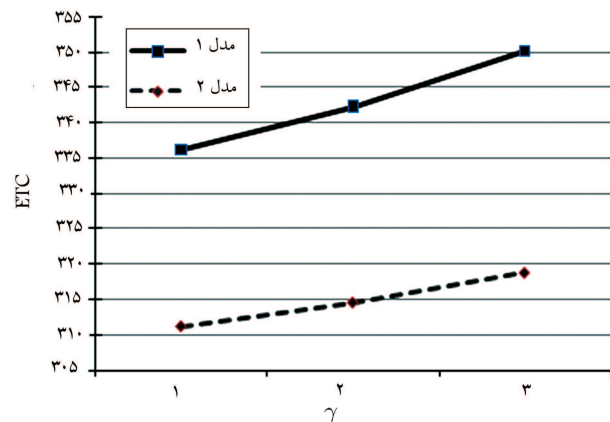
۱۰۰,۰۰,۱۰۰,۲۵	۲۰,۱۰,۲۰,۵	۲,۱,۲,۰,۵	h_1, h_2, h_3, h_4	مقادیر
۷۰۰۵۷,۷۵	۱۵۵۹,۲۶	۳۰۸,۴۷۴	۱	مدل ۱
۶۹۷۱,۲۶	۱۵۳۲,۴۱	۳۰۰,۶۸۹	۲	مدل ۲
۷۰۹۹,۷۱	۱۵۴۶,۲۲	۲۹۶,۴۶۸	۳	مدل ۳
۷۱۸۴,۴۱	۱۵۵۱,۱۴	۲۹۶,۴۶۸	۴	مدل ۴

جدول ۷. مقایسه نتایج الگوریتم ژنتیک و شبیه‌سازی تبرید.

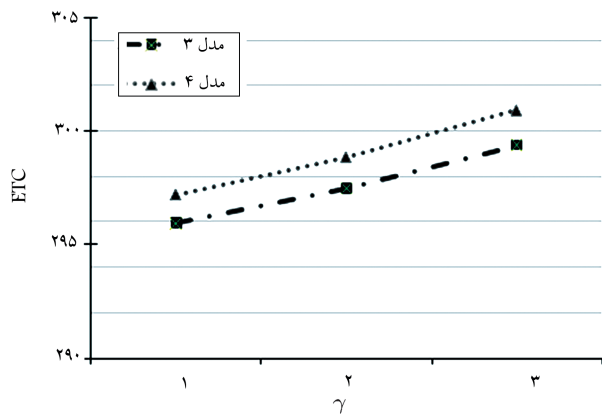
مدل ۴	مدل ۳	مدل ۲	مدل ۱	الگوریتم ژنتیک	شبیه‌سازی تبرید	میزان بهبود
۲۹۶,۹۶۱	۲۹۶,۴۶۸	۳۰۰,۶۸۹	۳۰۸,۴۷۴			
۲۹۷,۱۶۰	۲۹۶,۶۷۷	۳۰۰,۷۴۴	۳۰۸,۵۵۱			
۰/۱۹۹	۰/۲۰۹	۰/۰۵۵	۰/۰۷۷			

با مقایسه جداول ۲ الی ۵ نکته دیگری که مشاهده می‌شود این است که هزینه‌ی سیستم مرور دائم با پارامترهای یکسان کمتر از سیستم مرور دوره‌ی است. به‌منظور بررسی معنی‌داری این تفاوت، از آزمون میانگین در سطح اطمینان ۹۵ درصد ($1,66 = t_{0.95}$) استناده می‌شود. نتایج نشان می‌دهد که در هر دو حالت فروش از دست رفته ($t = 17,96$) و تخصیص ($t = 17,93$) تفاوت معنی‌داری بین هزینه‌ها وجود دارد. اما در صورتی که هزینه‌های نگهداری افزایش یابد، هزینه‌ی سیستم مرور دائم بزرگ‌تر از هزینه‌ی سیستم مرور دوره‌ی خواهد شد (جدول ۶).

همچنین مقدار تابع هدف و مقادیر k_1, k_2 و k_3 با استفاده از جعبه‌ای ابزار الگوریتم شبیه‌سازی تبرید^{۱۱} در نرم‌افزار متناسب به دست آمده و خروجی آن در جدول ۷، به‌منظور مقایسه با خروجی الگوریتم ژنتیک، آورده شده است. چنان‌که مشاهده می‌شود، الگوریتم ژنتیک نسبت به الگوریتم شبیه‌سازی تبرید مقدار بهتری را به دست آورده است.



شکل ۵. نمودار تغییرات هزینه‌ی کل نسبت به تغییرات انحراف استاندارد خطای تصادفی (مرور دوره‌ی).



شکل ۶. نمودار تغییرات هزینه‌ی کل نسبت به تغییرات انحراف استاندارد خطای تصادفی (مرور دائم).

۵. نتیجه‌گیری

در این نوشتار مدل‌های قطعی و تصادفی را برای یک سیستم موجودی در دو حالت مرور دائم و مرور دوره‌بی برسی کردیم. یکپارچگی بازگشتهای بازگشتهای تأمین خلقه است، تحلیل آن را برای سیستم‌های بزرگ‌تر پیچیده می‌سازد. در نتیجه به منظور سهولت، در این مقاله فرض‌هایی را در نظر گرفتیم تا بتوان مدل را حل کرد.

نتایج حاصل از اجرای مدل‌ها عبارت‌اند از:

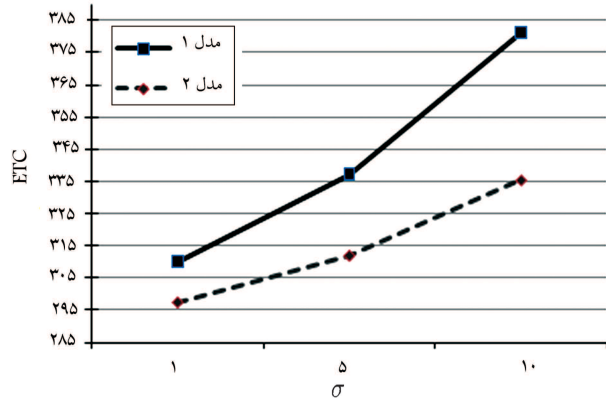
۱. مقایسه‌ی هزینه‌ی حالت فروش از دست رفته و تخصیص نشان داد که حالت تخصیص -- نسبت به حالت فروش از دست رفته -- هزینه‌ی کمتری در سیستم مرور دوره‌بی دارد.

۲. بسته به میران هزینه‌های نگهداری و آماده‌سازی، هزینه‌ی دو سیستم مرور دائم و مرور دوره‌بی ممکن است کم‌تر یا بیشتر از دیگری باشد.

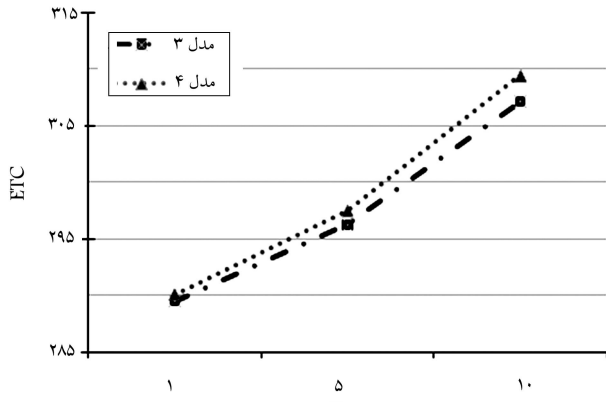
۳. وقتی که نرخ بازگشتهای افزایش می‌یابد، همبستگی بین تقاضا و بازگشتهای بیشتر می‌شود و درنتیجه تغییر پذیری تقاضای خالص کاهش می‌یابد. در هر حال با توجه به سایر پارامترهای تأثیرگذار نمی‌توان نتیجه گرفت که افزایش این همبستگی باعث کاهش میران هزینه‌ها می‌شود یا خیر.

مدیران هنگام در نظر گرفتن سیستم موجودی با بازگشتهای بازگشتهای پارامترها و هزینه‌های خود پرداخته و در مورد میران موجودی و سیستم تصمیم بگیرند. لازم به ذکر است نمی‌توان به طور قطع نتیجه گرفت که با افزایش نرخ بازگشتهای هزینه‌ها نیز افزایش یا کاهش یابند.

با توجه به این که در این نوشتار توزیع تقاضا نرمال در نظر گرفته شده است، در تحقیقات آتی می‌توان به منظور توسعه‌ی مدل، توزیع‌های دیگری از قبیل توزیع گاما و پواسون را مورد بررسی قرار داد. از طرفی تقاضا و بازگشتهای در دوره‌های متفاوت مستقل‌اند اما می‌توان در دوره‌های مختلف آنها را همیسته فرض کرد.



شکل ۷. نمودار تغییرات هزینه‌ی کل نسبت به تغییرات انحراف استاندارد (مرور دوره‌بی).



شکل ۸. نمودار تغییرات هزینه‌ی کل نسبت به تغییرات انحراف استاندارد (مرور دائم).

پانوشت‌ها

1. repair
2. refurbishing
3. remanufacturing
4. cannibalization
5. recycling
6. safety factor
7. order up to level
8. emergency shipment
9. allocation
10. encoding
11. simulated annealing

منابع (References)

1. Akcali, E. and Cetinkaya, S. "Quantitative models for inventory and production planning in closed-loop supply

chains", *International Journal of Production Research*, **49**(8), pp. 2373-2407 (2011).

2. Alamri, A.A. "Theory and methodology on the global optimal solution to a general reverse logistics inventory model for deteriorating items and time varying rates", *Computers & Industrial Engineering*, **60**(2), pp. 236-24 (2011).
3. Chan, H.K., Yin, S. and Chan, F.T.S. "Implementing just-in-time philosophy to reverse logistics systems: A review", *International Journal of Production Research*, **48**(21), pp. 6293-6313 (2010).
4. Muckstadt, J.A. and Isaac, M.H. "An analysis of single item inventory systems with returns", *Naval Research Logistics Quarterly*, **28**, pp. 237-254 (1981).
5. Ravi, V., Ravi, S. and Tiwari, M.K. "Analyzing alternatives in reverse logistics for end-of-life computers: ANP and balanced scorecard approach", *Computers & Industrial Engineering*, **48**(2), pp. 327-356 (2005).
6. Rubio, S., Chamorro, A. and Miranda, F.J. "Characteristics of the research on reverse logistics (1995-2005)",

- International Journal of Production Research*, **46**(4), pp. 1099-1120 (2008).
7. Mutha, A. and Pokharel, S. "Strategic network design for reverse logistics and remanufacturing using new and old product modules", *Computers & Industrial Engineering*, **56**(1), pp. 334-346 (2009).
 8. Nagel, C. and Meyer, P. "Caught between ecology and economy: End-of-life aspects of environmentally conscious manufacturing", *Computers & Industrial Engineering*, **36**(4), pp. 781-792 (1999).
 9. Thierry, M., Salomon, M., Van Nunen, J. and Van Wassenhove, L.N. "Strategic issues in product recovery management", *California Management Review*, **37**(2), pp. 114-128 (1995).
 10. Guide Jr, V.D.R., Jayaraman, V., Srivastava, R. and Benton, W.C. "Supply chain management for recoverable manufacturing systems", *Interfaces*, **30**, pp. 125-145 (2000).
 11. Yuan, K.F. and Gao, Y. "Inventory decision-making models for a closed-loop supply chain system", *International Journal of Production Research*, **48**(20), pp. 6155-6187 (2010).
 12. Korugan, A. and Gupta, S.M. "A multi-echelon inventory system with returns", *Computers and Industrial Engineering*, **35**, pp. 145-148 (1998).
 13. Minner, S. "Strategic safety stocks in reverse logistics supply chains", *International Journal of Production Economics*, **71**, pp. 417-428 (2001).
 14. DeCroix, G.A. "Optimal policy for a multiechelon inventory system with remanufacturing", *Operations Research*, **54**(3), pp. 532-543 (2006).
 15. Mitra, S. "Analysis of a two-echelon inventory system with returns", *Omega*, **37**, pp. 106-115 (2009).
 16. Mitra, S. and Chatterjee, A.K. "Leveraging information in multi-echelon inventory systems", *European Journal of Operational Research*, **152**, pp. 263-280 (2004).
 17. Mitra, S. "Inventory management in a two-echelon closed-loop supply chain with correlated demands and returns", *Computer & Industrial Engineering*, bf 62, pp.870-879 (2011).
 18. Khouja, M. "Optimizing inventory decisions in a multi-stage multi-customer supply chain", *Transportation Research Part E: Logistics and Transportation Review*, **39**(3), pp. 193-208 (2003).
 19. Munson, C. and Rosenblatt, M. "Coordinating a three-level supply chain with quantity discounts", *IIE Transactions*, **33**, pp. 371-384 (2001).
 20. Jaber, M. and Goyal, S. "Coordinating a three-level supply chain with multiple suppliers, a vendor and multiple buyers", *International Journal of Production Economics*, **116**(1), pp. 95-103 (2008).
 21. Lee, J. and Moon, I. "Coordinated inventory models with compensation policy in a three level supply chain", *Lecture Notes in Computer Science*, **3982**, pp. 600-609 (2006).
 22. Jaber, M.Y., Bonney, M. and Guiffrida, A.L. "Coordinating a three-level supply chain with learning-based continuous improvement", *International Journal of Production Economics*, **127**(1), pp. 27-38 (2010).
 23. Mitra, S. "Analysis of a two-echelon inventory system with returns", *omega*, **37**, pp. 106-115 (2006).